

## II-17 結氷河川の氷厚に関する一考察

北見工業大学 正員 佐渡公明

## 1. まえがき

結氷河川の氷厚を理論的に求める問題は、水と氷の二相界面が時間とともに移動する一次元熱伝導の相変化問題である。従来、この問題は筆者の知る範囲で J. Stefan<sup>1)</sup>, F. Neumann<sup>1)</sup>, 鎌田等により解析されている。しかしながら、これらは水深を無限大として、河床土中の地温の影響が考慮されていない。また気温の扱い方が理論的に不明確であると思われる。本論文では、積雪表面や氷盤表面と大気間の熱収支を熱伝達の式で整理した場合、気温は平衡温度の一部を構成し、熱伝達率が明確に表示されることを示す。次に、地温の影響はどのように扱う。すなわち河床での熱交換を考慮した水温分布を求め、アイスカバー(=氷盤)下面に流入する熱流束を決定するのである。

## 2. 氷厚成長の理論式

図-1は、河川横断面の結氷状態を示したものである。座標軸はX軸を流水方向に、Y軸を川幅方向に、Z軸を水深方向に取っている。河川水と接触しているアイスカバー下面( $Z=0$ )の成長と融解を支配する基本式は、次の熱収支方程式である。

$$\gamma_1 l \frac{dh_1}{dt} + Q_2 = Q_1 \quad (1)$$

ここで、  
 $\gamma_1$ : 氷の単位重量,  $l$ : 氷の融解熱,  $h_1$ : 氷厚,  
 $t$ : 時間,  $Q_2$ : 河水から氷盤に流入する熱流束,  
 $Q_1$ : 氷盤と積雪を通して大気へ流出する熱流束

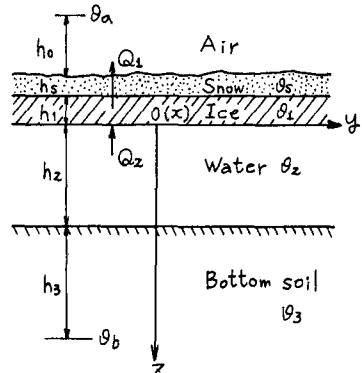


図-1 河川横断面の結氷状態

アイスカバー下面に空気が入り、河川水の流れが開水路状態にならざる場合も実際にはたまに見受けられるが、本論文ではこのような場合は考慮しない。式(1)を解くに当たって問題は $Q_1$ ,  $Q_2$ をいかに表現するかである。 $Q_2$ については次の3節で詳しく述べることにして、先ず $Q_1$ について述べる。 $Q_1$ の決定は、大気の熱作用を表す積雪面との全熱収支の条件と氷盤下面 $Z=0$ の条件により、氷盤-積雪の温度分布を解くことになる。積雪面と大気間の熱収支要素には、積雪面を温める過程として日射による短波放射 $I$ 、大気の長波放射 $R_E$ があり、積雪面を冷やす過程として積雪面からの長波逆放射 $R_I$ 、蒸発に伴う潜熱量 $LE$ および対流による顯熱量 $H$ の輸送がある。積雪面に対する加熱を正として、以上の各熱収支項の総和は、平衡温度 $\theta_s^*$ を用いて次のように示される。

$$(1 - A_{\text{surf}})I - R + H + LE = \alpha_s (\theta_s^* - \theta_{\text{surf}}) \quad (2)$$

ここで、  
 $A_{\text{surf}}$ : 積雪面のアルベド,  $L$ : 蒸発の潜熱,  $\alpha_s$ : 热伝導率,  $\theta_{\text{surf}}$ : 積雪表面の温度,  
 $R$ : 有効長波放射 $= R_I - R_E$

次に各熱収支項の算定は、文献3), 4)などにより次のように与えられる。

$$\left. \begin{aligned} R &= R_0 + 4\sigma T_0^3 (\theta_{\text{surf}} - \theta_a), \quad R_0 = \sigma T_0^4 (1 - C_1 - C_2 \sqrt{\epsilon_a}) (1 - C_3 n^2) \\ H &= h (\theta_a - \theta_{\text{surf}}), \quad h = c_p \gamma_a C_H U(h_0) \\ LE &= k (\epsilon_a - \epsilon_{\text{surf}}) = k (\Delta E - \varphi \theta_a + \varphi \theta_{\text{surf}}), \quad k = L \gamma_a C_E \frac{0.622}{P} U(h_0) \end{aligned} \right\} \quad (3)$$

ここで記号は次の通りである。

$\sigma$ : ステファン・ボルツマン定数,  $T_0 = 273.2$ ,  $T_a = \theta_a + T_0$ ,  $C_1, C_2, C_3$ : 定数,  $n$ : 露量,

$h$ : 頭熱伝導係数,  $k$ : 潜熱伝導係数,  $C_p$ : 空気の定圧比熱,  $\gamma_a$ : 空気の単位重量,  $P$ : 大気圧,  $\theta_a, e_a, u(h_0)$ : 積雪面上の高度  $h_0$  における気温, 水蒸気圧力, 風速  $\Delta E$ : 飽差 =  $e(\theta_a) - e_a$ ,  $\gamma$ : 飽和水蒸気圧力曲線との  $\theta_a$  の点における変化率,  $C_H, C_E$ : 頭熱, 水蒸気輸送に対するバルク輸送係数。式(3)と式(2)に代入し, 積雪がある場合の熱伝導率  $\alpha_s$  と平衡温度  $\theta_s^*$  を求めれば

$$\alpha_s = h + \gamma k + 4\sigma T^3 \quad (4)$$

$$\theta_s^* = \theta_a + \frac{(1 - A_{surf}) I - R_o - k \Delta E}{\alpha_s} \quad (5)$$

となる。式(5)の  $(1 - A_{surf}) I - R_o$  は純放射計を用いれば直接この値を測定することができる。 $C_H, C_E$  は文献(4)では  $u(h_0)$  から求めている。なお式(2)～(5)は, 積雪がなく氷盤表面が直接大気と接している場合は添字 *surf*, *s* を氷盤表面に取ればよい, また氷盤もなく開水路状態の流れでは *surf*, *s* を水面に取ればよい。

次に, 氷盤-積雪の温度分布を定常とすれば,  $Q_1$  は氷盤・積雪の熱伝導と大気の熱伝達より次のようになる。

$$Q_1 = \frac{-\theta_s^*}{\frac{h_1}{\lambda_1} + \frac{h_s}{\lambda_s} + \frac{1}{\alpha_s}} \quad (6)$$

ここで,  $\lambda_1$ : 氷の熱伝導率,  $\alpha_s$ : 積雪の熱伝導率である。式(6)と式(1)に代入して

$$\gamma_1 l \frac{dh_1}{dt} = \frac{-\theta_s^*}{\frac{h_1}{\lambda_1} + \frac{h_s}{\lambda_s} + \frac{1}{\alpha_s}} - Q_2 \quad (7)$$

式(7)と初期条件  $t=0$  で  $h_1=h_{in}$  のもとで積分し,  $\Delta t$  時間ごとに  $h_1$  が成長したとすれば

$$-\frac{\lambda_1 \theta_s^*}{Q_2} \log_e \left( 1 + \frac{Q_2 \Delta h_1}{\lambda_1 B \theta_s^*} \right) - \frac{\Delta h_1}{Q_2} = \frac{\Delta t}{\gamma_1 l}, \quad B = 1 + \frac{Q_2}{\theta_s^*} \left( \frac{h_{in}}{\lambda_1} + \frac{h_s}{\lambda_s} + \frac{1}{\alpha_s} \right) \quad (8.1)$$

ただし, 式(8.1)の  $\Delta h_1$  以外の物理量は  $0 \sim \Delta t$  で定数としている。式(8.1)に  $Q_2 \Delta h_1 / \lambda_1 B \theta_s^* < 1$  のとき, 対数を級数展開しオーバー項を取ると  $\Delta h_1$  は次のようになる。

$$\Delta h_1 = B \left\{ \int \left( h_{in} + \frac{h_s \lambda_1}{\lambda_s} + \frac{\lambda_1}{\alpha_s} \right)^2 - \frac{2 \lambda_1 \theta_s^*}{\gamma_1 l} \Delta t - \left( h_{in} + \frac{h_s \lambda_1}{\lambda_s} + \frac{\lambda_1}{\alpha_s} \right) \right\} \quad (9)$$

積雪表面の温度  $\theta_{surf}$  が既知のときは, 大気の熱伝導は考慮しなくてよいので

$$\Delta h_1' = B' \left\{ \int \left( h_{in} + \frac{h_s \lambda_1}{\lambda_s} \right)^2 - \frac{2 \lambda_1 \theta_{surf}}{\gamma_1 l} \Delta t - \left( h_{in} + \frac{h_s \lambda_1}{\lambda_s} \right) \right\} \quad (10)$$

$$B' = 1 + \frac{Q_2}{\theta_{surf}} \left( \frac{h_{in}}{\lambda_1} + \frac{h_s}{\lambda_s} \right)$$

となる。また積雪がない場合は, 式(9)に  $h_s = 0, \alpha_s \rightarrow \alpha_1, \theta_s^* \rightarrow \theta_1^*$  とおいて次式が得られる。

$$\Delta h_1'' = B'' \left\{ \int \left( h_{in} + \frac{\lambda_1}{\alpha_1} \right)^2 - \frac{2 \lambda_1 \theta_1^*}{\gamma_1 l} \Delta t - \left( h_{in} + \frac{\lambda_1}{\alpha_1} \right) \right\} \quad (11)$$

$$B'' = 1 + \frac{Q_2}{\theta_1^*} \left( \frac{h_{in}}{\lambda_1} + \frac{1}{\alpha_1} \right)$$

さらに式(11)の氷盤表面の温度  $\theta_1$  が既知のときは,

$$\Delta h_1''' = B''' \left\{ \int h_{in}^2 - \frac{2 \lambda_1 \theta_1}{\gamma_1 l} \Delta t - h_{in} \right\}, \quad B''' = 1 + \frac{Q_2 h_{in}}{\theta_1 \lambda_1} \quad (12)$$

氷厚成長に関する Stefan の式は, 式(12)の  $Q_2$  の影響を無視して  $B''' = 1$ としたものである。また  $\theta_1$  は気温  $\theta_a$  に等しくないことに注意しなければならない。一般には, 積雪表面温度や氷盤表面温度はデータとして

入手し難く、気温を用ひなければならぬと思う。その際、式(9)、(11)から分かるように、気温は式(5)で定義される平衡温度を通して間接的に  $\Delta h_2$  に影響し、併せて熱伝導率  $\alpha$  を考慮しなければならない。

### 3. 水温分布

本節では、 $Q_2$  の算定について述べる。式(9)から分かるように冰厚に及ぼす  $Q_2$  の影響は係数  $B$  の形で入るといふが、 $Q_2$  が増加すると  $B$  も減少 ( $\because \theta_s^* < 0$ ) し、冰厚も減少する。 $Q_2$  は水温分布  $\theta_2(z, t)$  が分かれば次式で求められる。

$$Q_2 = -\lambda_2 \frac{\partial \theta_2}{\partial z} \Big|_{z=0} \quad (13)$$

ところで、水温分布は河床土中の熱保存、流れの乱流熱交換そして熱に変化する損失水頭以上の3者によって決まる。特に、結氷前・結氷期中の水温分布は、水塊と河床底面との間の熱交換の影響を強く受けるものと思われ、土中の温度分布  $\theta_3(z, t)$  が問題となる。また、河川や湖のアイスカバー下面の氷の成長・融解は流れの状態に密接に関連し、流速が増せば  $Q_2$  が増加するものと思われる。しかし、流速を考慮して問題を解くには非常に難解で、本論文では第一近似として流速を考慮しないことにする。以上により、 $\theta_2$  の決定には図-1の記号の通り次の方程式を解くことになる。

$$\frac{\partial \theta_j}{\partial t} = a_j \frac{\partial^2 \theta_j}{\partial z^2}, \quad (j = 2, 3) \quad (14.1)$$

$$\text{境界条件 } z = 0 \text{ で } \theta_2 = 0, \quad z = h_2 + h_3 \text{ で } \theta_3 = \theta_b = \text{const.}$$

$$\text{接続条件 } z = h_2 \text{ で } \theta_2 = \theta_3, \quad \lambda_2 \frac{\partial \theta_2}{\partial z} = \lambda_3 \frac{\partial \theta_3}{\partial z} \quad \left. \right\} \quad (14.2)$$

$$\text{初期条件 } t = 0 \text{ で } \theta_j(z, 0) = f_j(z), \quad (j = 2, 3)$$

ここで、 $a_j$  は温度伝導率、 $h_3$  は地温の年変化が達しない深さすなわち年変化の不易層である。また時刻の原点は、連続したアイスカバーが水面上に形成された任意の時刻  $t$  とする。

式(14.1)の解は、 $a_j$  一定として、ラプラス変換を適用して得られる連立2階非同次線形微分方程式をグリーン函数を用いて解き、二の逆ラプラス変換の積分を留数を用いて行うことでより次のようにならざる。

$$\begin{aligned} \theta_2(z, t) = & S_2(z) + Z b \sum_{n=1}^{\infty} \frac{\cos^2 a \beta_n h_2 \cdot \sin \beta_n z \cdot e^{-a \beta_n z t}}{(a h_3 \cos^2 \beta_n h_2 + b h_2 \cos^2 a \beta_n h_3)} \int_0^{h_2} (f_2(\bar{z}) - S_2(\bar{z})) \sin \beta_n \bar{z} d\bar{z} \\ & - Z ab \sum_{n=1}^{\infty} \frac{\cos \beta_n h_2 \cdot \cos a \beta_n h_3 \cdot \sin \beta_n z \cdot e^{-a \beta_n z t}}{(a h_3 \cos^2 \beta_n h_2 + b h_2 \cos^2 a \beta_n h_3)} \int_{h_2}^{h_2+h_3} (f_3(\bar{z}) - S_3(\bar{z})) \sin a \beta_n (h_2 + h_3 - \bar{z}) d\bar{z} \end{aligned} \quad (15)$$

$$\begin{aligned} \theta_3(z, t) = & S_3(z) - Z \sum_{n=1}^{\infty} \frac{\cos \beta_n h_2 \cdot \cos a \beta_n h_3 \cdot \sin a \beta_n (h_2 + h_3 - z) \cdot e^{-a \beta_n z t}}{(a h_3 \cos^2 \beta_n h_2 + b h_2 \cos^2 a \beta_n h_3)} \int_0^{h_2} (f_2(\bar{z}) - S_2(\bar{z})) \sin \beta_n \bar{z} d\bar{z} \\ & + Z a \sum_{n=1}^{\infty} \frac{\cos^2 \beta_n h_2 \cdot \sin a \beta_n (h_2 + h_3 - z) \cdot e^{-a \beta_n z t}}{(a h_3 \cos^2 \beta_n h_2 + b h_2 \cos^2 a \beta_n h_3)} \int_{h_2}^{h_2+h_3} (f_3(\bar{z}) - S_3(\bar{z})) \sin a \beta_n (h_2 + h_3 - \bar{z}) d\bar{z} \end{aligned} \quad (16)$$

ここで、

$$S_2(z) = \frac{\theta_b \lambda_3 z}{\lambda_3 h_2 + \lambda_2 h_3}, \quad S_3(z) = \frac{\theta_b (\lambda_3 h_2 + \lambda_2 (z - h_2))}{\lambda_3 h_2 + \lambda_2 h_3}, \quad a = \sqrt{\frac{a_2}{a_3}}, \quad b = \sqrt{\frac{C_2 \theta_3 \lambda_3}{C_2 \theta_2 \lambda_2}}$$

$C_2$  は比熱である。固有値  $\beta_n$  は次の方程式より得られる。

$$\tan a \beta_n h_3 + b \tan \beta_n h_2 = 0 \quad (17)$$

固有値  $\beta_n$  は、無数ありいずとも実数び重複せず、各正の固有値に対し絶対値が相等しい負の固有値が存在する。式(15)の第1項の  $S_2(z)$  は水中の定常温度分布を表わし、第2項は初期値の温度分布  $f_2(z)$  と定常値  $S_2(z)$  との差が時間とともに次第に減少していくことを表わしている。また、第3項は河床びの熱交換による水温変化を表わしており、土中の初期温度分布  $f_3(z)$  と定常分布  $S_3(z)$  との差に因縁している。

式(15)を直接式(13)に代入して、 $Q_2$ を求めたのは式が複雑び実用計算には向かない。そこで、不易層の深さ、初期温度分布に対する次の近似を行い、このときの水温を  $\bar{\theta}_2$  とする。

$$h_3 \rightarrow \infty, \quad f_2(z) \approx 0, \quad f_3(z) \approx \bar{\theta}_3$$

$\bar{\theta}_3$  は  $t=0$  における土中の平均温度である。かくして、 $\bar{\theta}_2$ 、 $Q_2$  および河床面の熱流束  $Q_b$  は式を次のように得られる。

$$\bar{\theta}_2(z, t) = \frac{\bar{\theta}_3}{za} \frac{b}{1+b} \sum_{n=0}^{\infty} (-1)^n \left( \frac{1-b}{1+b} \right)^n \left\{ \operatorname{erf} \frac{zn+1+x}{z\sqrt{F_0}} - \operatorname{erf} \frac{zn+1-x}{z\sqrt{F_0}} \right\} \quad (18)$$

$$Q_2(t) = \frac{\lambda_z \bar{\theta}_3}{ah_z \sqrt{\pi F_0}} \frac{b}{1+b} \sum_{n=0}^{\infty} (-1)^n \left( \frac{1-b}{1+b} \right)^n e^{-\frac{(zn+1)^2}{4F_0}} \quad (19)$$

$$Q_b(t) = \frac{\lambda_z \bar{\theta}_3}{2ah_z \sqrt{\pi F_0}} \frac{b}{1+b} \sum_{n=0}^{\infty} (-1)^n \left( \frac{1-b}{1+b} \right)^n \left\{ e^{-\frac{n^2}{F_0}} + e^{-\frac{(n+1)^2}{F_0}} \right\} \quad (20)$$

$$\text{ここで}, \quad \operatorname{erf} x = \frac{2}{\sqrt{\pi}} \int_0^x e^{-\frac{t^2}{2}} dt, \quad F_0 = \frac{a_z t}{h_z}$$

$F_0$  はフーリエ数と呼ばれる無次元数である。式(19)より時間  $0 \sim \infty$  の平均値  $\bar{Q}_2$  を求め、これを前節の係数  $B$  に代入すれば  $Q_b$  を求めることが出来る。

最後に、流速  $v_z$  の影響を考慮する場合には、式(14.1)の第1式と  $z=0$  の境界条件は次のようになり、 $x=0$  の条件が増える。

$$\frac{\partial \theta_z}{\partial t} + v_z \frac{\partial \theta_z}{\partial z} = a_z \frac{\partial^2 \theta_z}{\partial z^2} + \frac{q_z}{c_z Y_z} \quad (21.1)$$

$$\left. \begin{aligned} z=0 \quad & -\lambda_z \frac{\partial \theta_z}{\partial z} = \alpha_s (\theta_z - \theta_s^*) \\ x=0 \quad & \theta_z = \psi_z(z, t) \end{aligned} \right\} \quad (21.2)$$

$\theta_z$  は損失水頭などによる内部熱源である。 $\alpha_s$  と  $\theta_s^*$  を水面に対して求めると、この式は潜水面でないときの水温を表すことになる。

#### 4. あとがき

本論文では、氷厚に関する理論式を展開し、地温の影響、熱伝導率、平衡温度について述べた。具体的な数値計算例は講演会当日に発表する。今後の課題としては、式(21.1)を差分法により解き、流速の影響を検討することである。

#### 参考文献

- 1) H. S. Carslaw, J. C. Jaeger: Conduction of Heat in Solids, 2nd, Clarendon Press, 1959
- 2) 鎌田新悦: 河川の融冰とこれに伴う水理に関する研究, 土木試験所報告, 第38号, 1965.
- 3) 新井正, 西沢利榮: 水温論, 共立出版, 1974.
- 4) 近藤施正: 海面と大気間の運動量・顯熱・水蒸気に対する輸送係数, 防災科学技術センター研究報告, 第10号, 1974.